

## تخمین خورند سیمان پرده آببند با استفاده از شبکه‌ی عصبی مصنوعی

مهرداد پسندی

عضو هیات علمی گروه زمین شناسی، دانشگاه اصفهان

رسول اجل‌لوئیان

عضو هیات علمی گروه زمین شناسی، دانشگاه اصفهان

رضا فروغی ابری

کارشناس ارشد ژئوتکنیک

تاریخ پذیرش: ۹۲/۳/۲۶ تاریخ دریافت: ۹۱/۱/۲۱

*m.pasandi@sci.ui.ac.ir*

### چکیده

در پژوهش‌های سد سازی عملیات احداث پرده آببند یکی از پژوهینه ترین مراحل می‌باشد. بنابراین تخمین هزینه مورد نیاز در این بخش از اهمیت ویژه‌ای برخوردار است. عمدتاً هزینه عملیات تزریق بر اساس هزینه مواد که خود بر اساس میزان خورند سیمان است، محاسبه می‌شود. از آنجایی که ارتباط بین فاکتورهای تاثیرگذار بر عملیات تزریق پیچیده و بعض‌اً مبهم می‌باشد و باید به طریق رابطه منطقی بین این فاکتورها را شبیه‌سازی کرد. بدین منظور در این پژوهش از شبکه عصبی مصنوعی برای تعیین میزان خورند سیمان بخشی از پرده آببند سد بختیاری بر اساس پارامترهایی چون لوزان، شرایط زمین‌شناسی، ناپیوستگی‌ها، عمق، حالت لوزان و فشار تزریق استفاده گردیده است. خورند سیمان به توسیع روش‌های رگرسیون دو متغیره و چند متغیره نیز تخمین زده شده که مقایسه تخمین خورند سیمان بوسیله روش‌های ذکور دلالت بر برتری روش شبکه عصبی دارد.

**کلمات کلیدی:** تزریق پرده آببند، شبکه‌ی عصبی مصنوعی، رگرسیون چند متغیره، سد بختیاری

### مقدمه

در رابطه فوق  $V_L$  عدد لوزان،  $A_L$  حجم خورند آب بر حسب لیتر،  $P_s$  فشار تزریق استاندارد (۹۸۱ کیلوپاسکال)،  $T$  زمان تزریق (دقیقه)،  $P_i$  فشار استفاده شده (کیلوپاسکال) و  $L$  طول مقطع تزریق (متر) می‌باشند. عدد لوزان بهترین پارامتر برای بیان حالت ناپیوستگی‌ها درون فونداسیون سد است و از لحاظ تئوری تعریف رابطه‌ی میان عدد لوزان و خورند سیمان دشوار می‌باشد (Yamaguchi and Matsumoto, 1989; Hirota et al, 1990) براین هنگامی که محققان از تجارت قابلی در تخمین خورند سیمان جهت ساختگاه سد بهره می‌گیرند، با مشکل خصوصیات زمین شناسی متفاوت موافق می‌گردد. به دلیل فرآیندهای فیزیکی نامشخص مرتبط با تشکیل خاک و سنگ، خصوصیات مهندسی این مواد رفتار متفاوت و غیر قطعی بروز می‌دهند. جهت سازگاری با پیچیدگی رفتار ژئوتکنیکی و تغییرات مکانی این مواد، اشکال مرسوم مدل‌های طراحی مهندسی بطور قابل توجیهی ساده می‌شوند. یک راهبرد جایگزین تحت عنوان شبکه‌های عصبی مصنوعی ANNs تنها بر اساس داده‌ها، ساختار و پارامترهای مدل را تعیین می‌نماید و جهت شبیه‌سازی مسائل پیچیده که ارتباط میان متغیرهای مدل نامعلوم است، بسیار مناسب می‌باشد (Hubick, 1992).

سنگ بستر عمدتاً دارای ناپیوستگی‌هایی از قبیل گسل‌ها، چین‌ها، صفحات لایه‌بندی، درزهای شکاف‌هایی می‌باشد که بر روی نفوذ پذیری، مقاومت برشی و تغییرشکل سنگ اثر مستقیم دارند. از این رو قبل از ساخت سد لازم است جهت ایجاد یک محیط آببند، شالوده سد مورد بهسازی قرار گیرد. استفاده از تزریق سیمان جهت بهسازی سنگ بستر امری متداوی می‌باشد (Baker, 1982; Verfel, 1989; Houldby, 1990; Jsidre, 1994) خواص مهندسی سنگ با استفاده از سیمان بهبود یافته است (Ewert, 1985; Weaver, 1991) خورند سیمان امری دشوار می‌باشد.

عموماً وضعیت بازشدنگی‌های درون زمین بطور غیرمستقیم بوسیله‌ی عدد لوزان که توسط آزمایش فشار آب تعیین می‌شود، بیان می‌گردد. همچنین از اطلاعات بدست آمده از آزمایش فشار آب می‌توان جهت تعیین نسبت آب به سیمان و میزان فشار در فرآیند تزریق استفاده نمود. عدد بالای لوزان نشانگر بازشدنگی سنگ و در نتیجه خورند بالای سیمان در حین بهسازی می‌باشد. عدد لوزان توسط رابطه‌ی ذیل محاسبه می‌گردد (Foyo and Sanchez, 2005):

$$L_u = \frac{V P_s}{T P_i} \quad (1)$$

خاکستری) با میان لایه‌های مارنی و شیلی (به رنگ تازه خاکستری تیره مایل به سیاه و رنگ هوازدگی ملايم خاکستری نسبتاً تیره) دارای ساختمان نواری تشکیل شده است. ضخامت لایه‌های آهک مارنی بین  $0\text{--}15$  متر و ضخامت لایه‌های مارنی-شیلی بین ۳ تا ۱۵ سانتی‌متر است. میان لایه‌های مارنی-شیلی در قسمتهای سطحی در امتداد لایه بندی بصورت ورقه‌های نازک درمی‌آیند. بخش SV3 از تناب لایه‌های آهک مارنی به رنگ تازه خاکستری تیره مایل به سیاه و رنگ هوازدگی ملايم خاکستری و آهک سیلیسی به رنگ سیلیسی به رنگ تازه خاکستری تیره و رنگ‌های هوازدگی ملايم قهوه‌ای روشن مایل به قرمز و قهوه‌ای تیره مایل به سیاه تشکیل شده است. ضخامت لایه‌های آهکی بین ۱۰ تا ۳۰ سانتی‌متر و ضخامت لایه‌های آهک سیلیسی بین ۵ تا ۲۰ سانتی‌متر است. بخش SV4 از آهک متوسط تا ضخیم لایه به رنگ تازه خاکستری تیره و رنگ هوازدگی ملايم خاکستری دارای گرهکهای (Nodules) از آهک سیلیسی و به ندرت چرت با میان لایه‌هایی از مارن تشکیل شده است. بخش SV5 از آهک ضخیم تا خیلی ضخیم لایه گرهکدار (Nodular) تشکیل شده است. رنگ آهک در مقطع تازه خاکستری تیره و در سطوح با هوازدگی ملايم، خاکستری است (مهاب قدس، ۱۳۸۰).



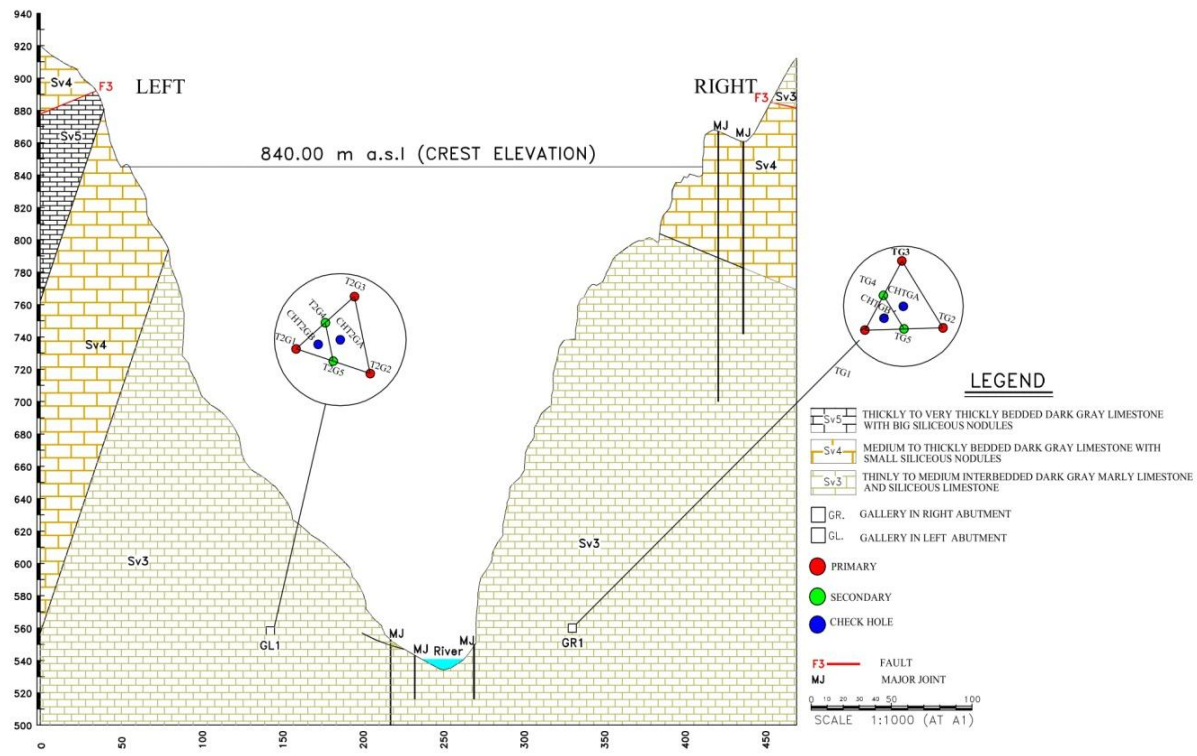
شکل ۱. موقعیت سد بختیاری در نقشه‌ی ایران

در سالهای اخیر استفاده فزاینده از شبکه‌های عصبی مصنوعی (ANNs) در بسیاری از زمینه‌های تحقیقی مهندسی و از جمله مهندسی ژئوتکنیک موفقیت قابل توجهی داشته و کاربرد گسترده‌ای در مکانیک سنگ، ژئوتکنیک و زمین شناسی مهندسی یافته است و برای حل مسائلی که ارتباط بین متغیرهای (Hubick, 1992; Millar and Clarici, 1994) از جمله مطالعات صورت گرفته در ژئوتکنیک می‌توان تحقیق (Goh, 1994) را بر شمرد که از روش شبکه عصبی برای بررسی پتانسیل روانگرایی خاک استفاده کرده است. Goh (1995) همچنین شبکه عصبی را جهت تخمین ظرفیت اصطکاکی شمعها در رس بکار برده است. Yang and Zhang (1997) آزمون بار نقطه‌ای را به توسط شبکه عصبی مصنوعی تجزیه و تحلیل نموده اند. Chang and Chao (2006) از شبکه عصبی پس انتشار Moosavi et al. (2006) جهت تخمین حریان واریزه بهره گرفته اند. Moosavi et al. (2006) از شبکه عصبی جهت شیوه سازی فشار تورم دوره ای سنگ رسی استفاده نموده‌اند. Zorlu et al. (2008) دو مدل مختلف رگرسیون چند متغیره و ANN را جهت تخمین مقاومت فشاری تک محوری ماسه سنگها بکار برده اند. Gomez and Kavzoglu (2008) ; Lee et al. (2004) و Nefeslioglu et al. (2008) در مطالعه‌های موردی متفاوت از روش شبکه عصبی مصنوعی جهت ارزیابی و تهیه نقشه آسیب پذیری زمین لغزش استفاده نموده اند.

Maji and Sitharan (2008) از شبکه عصبی مصنوعی جهت تخمین مدول الاستیکی توده سنگهای درزه و شکافدار استفاده کرده‌اند. این کاربردها نشان می‌دهند که مدل شبکه عصبی در حل مسائلی که در آنها پارامترهای بسیاری در فرآیند و نتایج ممکن است تاثیرگذار باشند و نتایج بخوبی درک نمی‌شوند و همچنین در حالتیکه داده‌های تاریخی یا تجربی در دسترس هستند، حائز اولویت است. Yang (2004) بوسیله روش‌های متوسط گیری، رگرسیون خطی و شبکه پس انتشار داده‌های پرده آبند سد Li-Yu-Tan واقع در شمال تایوان را جهت تخمین میزان خورند سیمان تجزیه و تحلیل نموده است. در این پژوهش تخمین خورند سیمان جهت ساخت پرده آبند سد بختیاری از طریق روشهای رگرسیون دو متغیره و چند متغیره و همچنین شبکه عصبی مصنوعی پس انتشار (BPN)، مورد ارزیابی و مقایسه قرار گرفته تا بتوان مدلی ساده و درعین حال کارآمد برای پیش‌بینی خورند سیمان ارائه نمود.

### موقعیت جغرافیایی و زمین شناسی منطقه

ساختمگاه سد بختیاری در قسمت جنوب غربی ایران، در حدود ۷۰ کیلومتری شمال شرقی شهر اندیمشک و حدود ۶۵ کیلومتری جنوب غربی شهر دورود لرستان قرار دارد (شکل ۱). نقطه مرکزی محور سد دارای مختصات طول شرقی و  $۳۶^{\circ}۴۸'۲۹''$  متر عرض شمالی است. هدف از احداث این سد بتنی تولید انرژی از طریق احداث نیروگاه بر قایی می‌باشد (مهاب قدس، ۱۳۸۰). گستره ساختگاه و مخزن سد بختیاری در استان ساختاری - چینه شناختی زاگرس چین خورده قرار گرفته است. محور سد را کلاً سازند سروک پوشش می‌دهد که خود به پنج بخش SV1, SV2, SV3, SV4, SV5 تقسیم می‌شود (شکل ۲). بخش SV1 در گستره ساختگاه سد و سازه‌های جانبی و نیروگاه رخمنون ندارد. بخش SV2 از آهک مارنی (به رنگ تازه خاکستری تیره و رنگ هوازدگی ملايم SV2



شکل ۲. مقطع عرضی زمین شناسی ساختگاه سد بختیاری به همراه موقعیت گالری‌ها و گمانه‌های تزریق

پرکردن حفرات افزایش داده شود، این فشار می‌تواند باعث وقوع پدیده شکست هیدرولیکی و هدر رفتن مقدار زیادی سیمان شود. طبق تجربه، فشار تزریق بایستی در محدوده بین ۵۰۰ تا ۱۰۰۰ کیلوپاسکال بر طبق اصل افزایش ۳۰ کیلوپاسکال به ازای هر متر عمق اعمال گردد (Yang, 2004).

### عدد لوژان

همه‌متین عاملی که براساس آن می‌توان تزریق پذیری منطقه را مورد ارزیابی قرار داد، عدد لوژان است. معمولاً منطقه‌ای که لوژان بالای دارد خورند سیمان بالای نیز دارا است، مگر در صورت وجود درزهای موین متعدد که با وجود لوژان بالا، خورند به علت لزجت سیمان زیاد نمی‌باشد.

### بازشدگی درزهای

بدیهی است هر اندازه میزان بازشدگی‌ها بیشتر باشد خورند سیمان نیز بیشتر خواهد بود. این عامل با محاسبه متوسط وزنی بازشدگی‌ها در مقاطع ۵ متری بدست آمده است.

### روش کار

در این قسمت روش‌های بکار برده شده جهت تخمین خورند سیمان شامل شبکه عصبی مصنوعی، رگرسیون دو متغیره و رگرسیون چند متغیره تشریح می‌گردد و صحت تخمین به توسط محاسبه ضریب تعیین<sup>۲</sup> R<sup>2</sup> برازش بین خورند اندازه گیری شده و محاسباتی و همچنین محاسبه میانگین نسبی مربع خطایها (RMSE) ارزیابی می‌گردد.

### فاکتورهای موثر بر خورند سیمان

عوامل متعددی بر روی خورند سیمان اثر می‌گذارند که بطور کامل نمی‌توان به تمامی آنها پرداخت. برخی از این فاکتورها که می‌توانند بصورت کمی دسته بندی شوند عبارتند از:

### لایه بندی

این فاکتور ویژگی‌هایی از قبیل جنس لایه‌ها، مقاومت سنگ و میزان سیمانه شدن را تحت پوشش قرار می‌دهد. اگر ساختگاه سد از لایه‌های متفاوتی تشکیل شده باشد، احتمالاً دارای درزهای پنهان فراوانی نیز می‌باشد.

### ناحیه‌ی پی سد

تجربه نشان می‌دهد که تکیه گاه‌های چپ و راست سد بختیاری بعلت شرایط متفاوت زمین شناسی دارای درزهای متفاوت و درنتیجه خورند متفاوت هستند. بنابراین از لحاظ زمین شناسی سد بختیاری به دو قسمت چپ و راست تقسیم شد (شکل ۲).

### عمق مقطع تزریق

در نواحی عمیق ترک‌ها معمولاً ریز و غالباً تزریق ناپذیرند. بنابراین عمق یک فاکتور مهم در خورند سیمان می‌باشد. در سد بختیاری عملیات تزریق در مقاطع ۵ متری انجام گردیده است (Kutzner, 1985; Shibata, 1989).

### فشار تزریق

تصویرت ثوری فشار تزریق بایستی کمتر از تنفس تکتونیکی در عمق قطعه تزریق بوده و همچنین کمتر از مقاومت کششی سنگ باشد (Kutzner, 1985; Shibata, 1989). اگر در حین عمل تزریق بدون دقت کافی فشار تزریق برای

است خطای شبکه کاهش یابد اما در عین حال ساختار شبکه عصبی پیچیده‌تر می‌گردد که خود منجر به افزایش زمان آموزش شبکه برای یافتن وزن‌های مناسب می‌شود. به طور کلی برای ساخت مدلی به روش شبکه عصبی مصنوعی لازم است طبق مراحل زیر اقدام شود (Trippi and Turban, 1996):

(۱) تهیه زوج های آموزشی: این زوج داده ها شامل اطلاعات آماری از پدیده مورد نظر است و در واقع ورودی های شبکه عصبی را تشکیل می‌دهند.

(۲) نرمال کردن زوج های آموزشی: نرمال کردن داده ها به معنی تغییر مقیاس آنها جهت قرار گرفتن در یک محدوده خاص می‌باشد.

(۳) پیدا کردن بهترین ساختار شبکه: بهترین ساختار شبکه عصبی عبارت است از ایجاد ترکیب مناسبی از تعداد لایه های پنهان و تعداد نرون های آنها جهت رسیدن به حداقل خطای شبکه عصبی. این کار به روش آزمون و خطا صورت می‌گیرد.

(۴) یادگیری شبکه عصبی: جهت یادگیری شبکه های عصبی الگوریتم های آموزشی مختلفی ارائه گردیده است که معروف‌ترین آنها الگوریتم آموزشی انتشار به عقب (BP) می‌باشد. در این روش ابتدا اطلاعات از لایه ورودی به لایه خروجی انتقال می‌یابد، سپس میزان خطا محاسبه و در نهایت با بازگشت از لایه خروجی به لایه ورودی وزن های شبکه اصلاح می‌گردد. این عمل تا رسیدن به مقدار حداقل خطای شبکه ادامه می‌یابد.

(۵) تست شبکه عصبی: جهت بررسی دقیق شبکه آموزش یافته لازم است که عمل تست یا امتحان شبکه عصبی انجام شود. این کار با ارائه زوج داده های مجموعه تست به شبکه و محاسبه میزان خطای شبکه انجام خواهد شد. بدیهی است که در این مرحله انتخاب بهترین ساختار شبکه عصبی و الگوی ورودی و با مقایسه مقادیر خطاهای تست شبکه های مختلف انجام پذیر خواهد بود.

(۶) تکرار مراحل (۱) تا (۵) تا تعیین مدل بهینه  
(۷) کاربرد مدل ANN بهینه

در شبکه عصبی هر نرون تمامی ورودی‌ها را از لایه‌ی قبل خود مطابق رابطه‌ی زیر دریافت می‌کند:

$$net_j = \sum_{i=0}^n W_{ij} X_i \quad (2)$$

در این رابطه  $net_j$  سیگنال ورودی به لایه بعدی و  $n$  تعداد ورودی‌ها به  $j$  امین نرون در لایه مخفی است.  $W_{ij}$  وزن اتصال میان  $i$  امین نرون در لایه بعدی به  $j$  امین نرون در لایه مخفی است.  $X_i$  ورودی از  $i$  امین نرون در لایه قبلی است. یک نرون به کمک یکتابع انتقال  $f$  مثل تانژانت سیگموئید (که در این پژوهش مورد استفاده قرار گرفته است) خروجی  $out_j$  را تولید می‌کند (رابطه‌ی ۳ و شکل ۴).

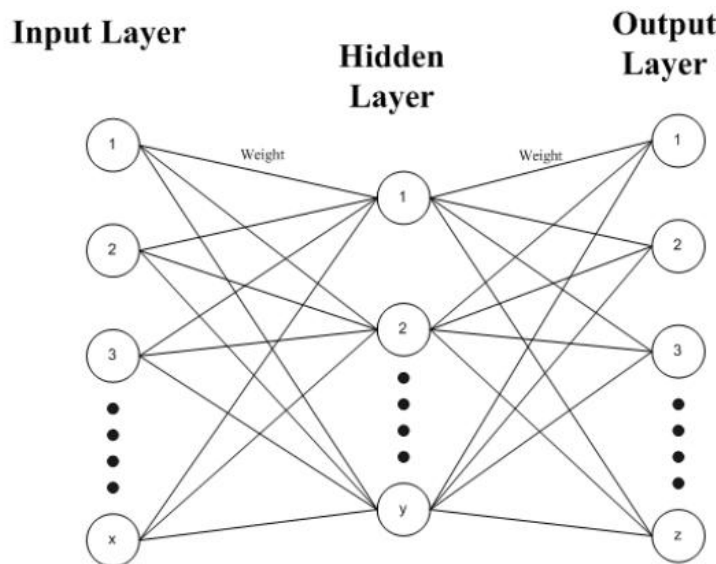
$$out_j = f(net_j) = \frac{1 - 2 \exp(-2net_j)}{1 + 2 \exp(-2net_j)} \quad (3)$$

### شبکه عصبی مصنوعی

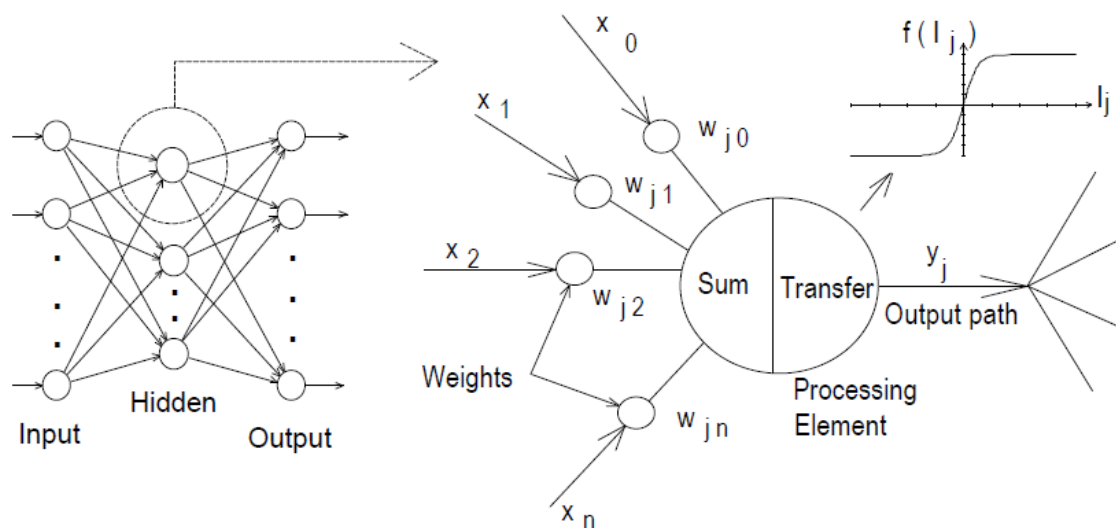
روش شبکه عصبی مبتنی بر یافتن روابط ذاتی میان داده‌های مختلف، یادگیری این روابط و سپس تعیین به نمونه‌های مشابه است و شبکه عصبی مصنوعی پردازنده‌ای است که دانشی را که از راه تجربه کسب نموده، برای استفاده‌های دیگر ذخیره می‌کند. این پردازنده از دو جهت شبیه مغز انسان است (Haykin, 1994):

-دانش شبکه از طریق فرایند آموزش حاصل می‌شود.  
-وزن اتصالات بین نرون‌ها مشابه سیستم ذخیره اطلاعات شبکه عصبی مغز انسان تعیین می‌شود.

شبکه‌های عصبی از نظر ساختاری به شبکه‌های تک لایه و چند لایه تقسیم می‌شوند. شبکه‌های عصبی چند لایه از سه نوع لایه تشکیل شده‌اند و وجود این سه لایه برای تشکیل یک شبکه عصبی مصنوعی ضروری است. نرون‌ها عناصر تشکیل دهنده لایه‌ها در شبکه‌های عصبی می‌باشند. عناصر هر لایه با تمام عناصر لایه‌های دیگر در ارتباط است ولی با سایر عناصر در همان لایه ارتباطی ندارد. سه لایه شبکه چند لایه ای شامل لایه ورودی، لایه‌های میانی یا پنهان و لایه خروجی است (شکل ۳). در این شبکه اولین لایه که اطلاعات ورودی به آن وارد می‌شود اصطلاحاً لایه ورودی (Input Layer) نامیده می‌شود. آخرین لایه (Output Layer) که جوابهای خروجی از مدل را فراهم می‌نماید لایه خروجی (Hidden Layer) گفته می‌شود. در بین لایه‌ی ورودی و خروجی یک یا چند لایه دیگر بنام لایه‌های مخفی یا میانی (Hidden Layer) قرار می‌گیرند که مستقیماً به داده‌های ورودی و نتایج خروجی متصل نیستند (شکل ۳). شبکه عصبی در واقع یک ساختار منطقی تشکیل شده از یک سری المان‌هایی است که از طریق مجموعه‌ای از وزن‌های داخلی با یکدیگر ارتباط دارند. این روش مبتنی بر یافتن روابط ذاتی میان داده‌های مختلف، یادگیری آن و سپس تعیین به نمونه‌های مشابه است. وزن‌های یاد شده در حین پروسه‌ی آموزش دائمًا اصلاح می‌شوند. در شبکه‌های عصبی کاربر تعداد ورودی‌ها، خروجی‌ها، لایه‌های مخفی و نودهای لایه‌ی مخفی را تعیین می‌کند. این نوع شبکه‌ها از یک سری توابع تشکیل شده‌اند که وظیفه‌ی ضرب مقادیر ورودی به هر نرون در وزن مربوطه را بر عهده دارند (شکل ۴). توابع زیادی هستند که در انتقال اعداد از لایه قبل به لایه بعد ممکن است مورد استفاده قرار گیرند که از آن جمله می‌توان تابع سیگموئید (Sigmoid) گوسی (Gaussian)، تانژانت هیپربولیک (Hyperbolic Tangent) (Hyperbolic Secant) هیپربولیک (Hyperbolic Secant) را نام برد ولی تابع سیگموئید بیشترین کاربرد را در مسائل مهندسی دارد که یکی از دلائل عدمه استفاده از این تابع سادگی مشتق آن است که استفاده از روش پس انتشار خطا را بسیار ساده می‌کند. شبکه‌های پس انتشار (BPN) یکی از پرکاربردترین شاخه‌های شبکه‌های عصبی هستند (Rumelhart et al., 1986). این نوع شبکه پروسه‌ی آموزش را با وزن‌های انتخابی شروع می‌کند و با مقایسه‌ی خروجی‌های شبکه عصبی با خروجی‌های مورد انتظار خطاهای حاصله را محاسبه می‌کند و کلیه‌ی وزن‌ها از طریق انتشار برگشتی خطاهای اصلاح می‌شوند. این پروسه در هر سیکل آموزش ادامه یافته و تا زمانی که خطای خروجی‌های شبکه به کمترین میزان ممکن نرسد متوقف نمی‌شود. یادگیری و مومنت انتخاب شده توسط کاربر به ترتیب سرعت و پایداری شبکه را کنترل می‌کنند. با اضافه شدن تعداد لایه‌های مخفی ممکن



شکل ۳. نمای کلی شبکه چند لایه ای



شکل ۴. طرح ساده‌ای از اجزای تشکیل دهنده یک نورون

ورودی برابر با تعداد عناصر بردار ورودی و تعداد نرونها لایه خروجی برابر با تعداد عناصر بردار خروجی می‌باشد. هر نرون توسط خروجی اش به نرونها لایه بعد متصل است ولی با نرونها لایه خودش ارتباط ندارد. آنالیز دقیق واقعی برای پیدا کردن تعداد نرونها لایه میانی در کل بسیار پیچیده است اما می‌توان گفت که تعداد نرونها لایه مخفی تابعی از تعداد عناصر برداری ورودی و همچنین حداکثر تعداد نوایی از فضای ورودی که بطور خطی از هم جداپذیرند می‌باشد از این رو تعداد نرونها لایه مخفی عموماً بطور تجزیی بدست می‌آید. در این تحقیق با استفاده از کد نوشته شده در نرم افزار MATLAB بهترین ترکیب شبکه عصبی بدست آمد و برای مدل سازی مجموعه شبکه عصبی پس انتشار از یک لایه پنهان استفاده شد. همانگونه که در (شکل ۵) نشان داده شده است، این شبکه شامل یک لایه مخفی با هفت ورودی و یک خروجی است. ورودی‌ها شامل لوژان، حالت‌های لوژان، عمق گمانه تزریق، جنس سنگ، فشار تزریق، متوسط میزان بازشدنی‌ها در هر مقطع و شرایط زمین‌شناسی (ناحیه) بوده و خروجی نیز خورند سیمان می‌باشد. حالت بهینه ورودی‌های شبکه عصبی متفاوت از Yang (2004) است که تنها لوژان، عمق گمانه تزریق، فشار تزریق و شرایط زمین‌شناسی را برای تخمین خورند سیمان به توسط شبکه عصبی مورد استفاده قرار داده است. برای جلوگیری از تاثیر مقادیر بسیار بزرگ یا کوچک ورودی‌ها بر روی وزن‌های شبکه، توسط رابطه زیرکلیه داده‌ها بین (۱۰، ۱۰۱) نرمالیزه شده‌اند.

$$X_i = 2 \left( \frac{X - X_{\min}}{X_{\max} - X_{\min}} \right) - 1 \quad (9)$$

وزن‌های اولیه بصورت اتفاقی بین ۰/۱ و ۰/۹۰ انتخاب شده‌اند. داده‌های استفاده شده مربوط به بخش تزریق گالری‌های GR2 و GL1 می‌باشند که تنها در این گالری‌ها تزریق انجام شده است. داده‌های هر چال با توجه به گام‌های تزریق ۵ متری و عمق چال به مجموعه‌های جداگانه تقسیم بندی گردیده است. به عنوان مثال چال با عمق ۶۰ متر در بردارنده ۱۲ مجموعه داده می‌باشد. البته از مقطع اول هر گمانه بدلیل عدم اطمینان کافی نسبت به اطلاعات چشم پوشی گردید. جهت دخالت دادن فاکتورهای موثر بر خورند سیمان در پروسه تخمین به توسط شبکه عصبی، تغییرات ذیل لازم بوده است (جدول ۱):

جدول ۱. کد بندی ورودی‌های شبکه عصبی

کد	میزان متوسط باز شدنی درزه‌ها (m)	کد	حالات	کد	کد	عمق مقطع تزریق	کد	فشار تزریق	کد	نوع سازند	کد	ناحیه	فونداسیون
			لوژان			(m)		(kpa)		۵			
.	۱ - ۱/۵	.	خطی	.	۰-۲۰	.	۰-۵۰۰	.	SV2	.	چپ		
۱	۱/۵ - ۲	۱	آشفته	۱	۲۰-۴۰	۱	۵۰۰-۱۰۰۰			۱	راست		
۲	۲ - ۲/۵	۲	آیشستگی	۲	۴۰-۶۰	۲	۱۰۰۰-۱۵۰۰	۱	SV3				
۳	۲/۵ - ۳	۳	پرشدنی	۳	۶۰-۸۰	۳	۱۵۰۰-۲۰۰۰						
۴	> ۳	۴	بازشدنی	۴	۸۰-۱۰۰	۴	۲۰۰۰-۲۵۰۰			۵	۲۵۰۰-۳۰۰۰		
										۶	>۳۰۰۰		

شبکه‌ی عصبی در واقع یک رگرسیون چند متغیره است که فرم استاندارد آن بصورت زیر است:

$$y' = \beta_0 + \beta_1 X_1 + \beta_2 X_2 + \dots + \beta_p X_p + \epsilon \quad (4)$$

در این معادله  $y'$  متغیر وابسته (مانند خورند سیمان) که تقریبی از  $y$  است،  $X_i$  ها متغیرهای مستقل (در این تحقیق فشار، میزان متوسط بازشدنی درزه ها، لوژان، نوع سازند و ناحیه فونداسیون سد) هستند.  $\beta_i$  ها ضرایب رگرسیون و  $\epsilon$  خطای معادله می‌باشند. پس اگر میانگین  $y$  ها  $y_{avg}$  باشد،  $(y' - y_{avg})$  بیانگر اختلاف میان  $y$  ایامین و میانگین  $y$  هاست. حال پارامترهای SSE و SST بصورت زیر تعریف می‌شوند:

$$SSE = \sum_{j=1}^n (y - y')_j^2 \quad (5)$$

$$SSR = \sum_{j=1}^n (y' - y_{avg})_j^2 \quad (6)$$

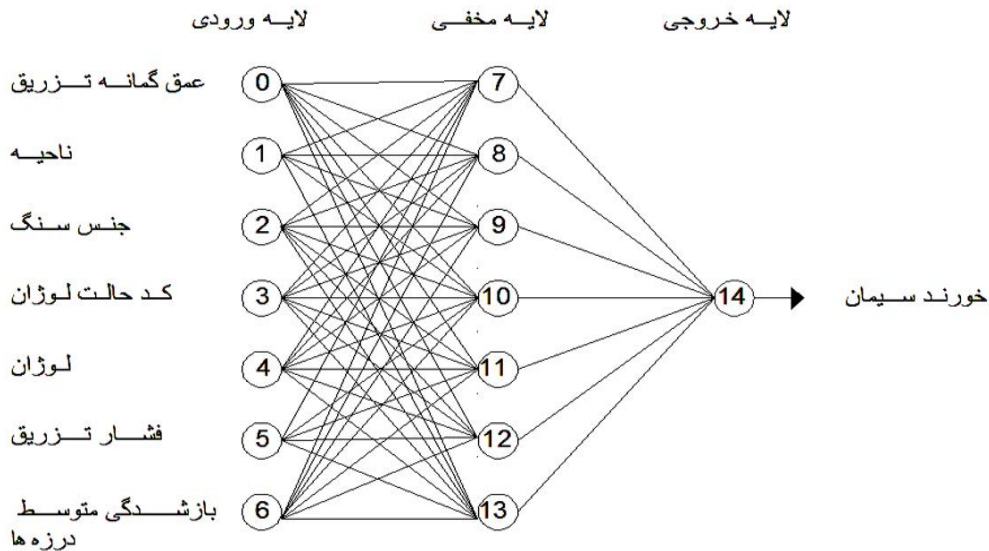
$$SST = SSR + SSE \quad (7)$$

ضریب رگرسیون یا ضریب تعیین که در واقع توزیع متغیرها را نشان می‌دهد، بصورت زیر تعریف می‌شود:

$$R^2 = SSR/SST \quad (8)$$

### طراحی و آموزش شبکه

طراحی یک شبکه عصبی مصنوعی شامل انتخاب تعداد لایه‌های پنهان و عناصر پردازندۀ نرون (برای لایه‌های پنهان) است که یک فرایند سعی و خطا جهت کسب بهترین نتیجه ممکن برای تولید خروجی می‌باشد. تعداد نرونها لایه



شکل ۵. شماتی از الگوریتم بکار رفته در شبکه عصبی

با توجه به موارد فوق برای هر سری از گمانه‌های تزریق با توجه به تفاوت منطقی مقادیر لوژان و خورند در دو گالری لازم بود که حداقل از دو شبکه استفاده شود، لیکن بدليل کمبود اطلاعات این امر میسر نبوده و از ۷۰٪ داده‌های هر بخش برای آموزش شبکه و از مابقی برای آزمون استفاده گردیده است. نتایج تکرارهای مختلف و حالت بهینه در جداول ۲ و ۳ ارائه گردیده است. صحت تخمین خورند سیمان به توسط حالت بهینه شبکه عصبی با محاسبه ضریب تعیین (رابطه ۸) و ضریب ارزیابی گردیده است. ضریب RMSE به توسط رابطه ذیل محاسبه می‌گردد:

$$RMSE = \frac{1}{S^2 n} \sum_{i=1}^n (y - y')^2 \quad (10)$$

در این رابطه  $y$  مقدار خورند سیمان واقعی،  $y'$  خورند تخمین زده شده توسط مدل،  $n$  تعداد کل داده‌ها و  $S^2$  واریانس نمونه می‌باشد. جدول (۳) و شکل (۶) نتایج آموزش و آزمون در شبکه عصبی را در حالت بهینه نشان می‌دهند. مدل بر اساس بیشترین مقادیر ضریب تعیین و کمترین مقدار RMSE ارزیابی می‌گردد.

با توجه به اطلاعات موجود، ناحیه‌ی سد به دو تکیه گاه چپ و راست تقسیم شد. در خصوص عمق مقطع تزریق با سعی و خطأ مشخص گردید که بهتر است بصورت مقاطع ۲۰ متری کد گذاری شوند. فشار تزریق در بازه‌های ۵۰۰ کیلوپاسکال به کدهای ۱ تا ۶ تبدیل گردیده است. لوژان تنها فاکتوری است که بصورت کد وارد شبکه عصبی نشده، زیرا تغییر یک واحد لوژان باعث چندین واحد تغییر خورند می‌شود.

تابع انتقال نرون‌های لایه میانی Sigmoid و لایه خروجی Purelin گردید. هر شبکه با تعداد نرون‌های مختلف در لایه میانی آموزش یافته و تعداد بهینه انتخاب شد. برای آموزش شبکه از الگوریتم Levenberg-Marquardt برای جلوگیری از حفظ داده‌های آموزشی در شبکه (overfitting) از الگوریتم Bayesian–regularization استفاده گردید. از ویژگی‌های این الگوریتم این است که با کنترل تابع برای داده‌های آموزش و آزمون، عملیات آموزش را با تعدل تابع عملکرد به گونه‌ای متوقف می‌نماید که تابع خطأ برای هر دو مجموعه داده‌ها کمترین مقدار ممکن باشد.

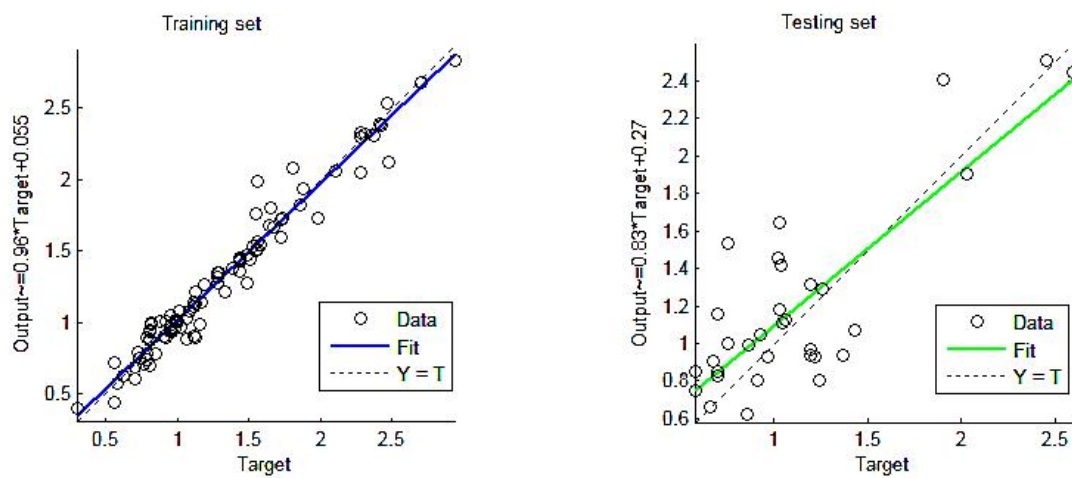
مجموعه داده‌هایی که به شبکه داده می‌شوند به دو دسته کلی تقسیم می‌شوند: مجموعه آموزشی و مجموعه آزمایشی. مجموعه آموزشی برای بالا بردن توان یادگیری وارد شبکه می‌شوند و شبکه باید وزنهای ارتیاطی را از الگوهای آموزشی موجود فرآگیری نماید. هنگامی که مرحله یادگیری مدل با موفقیت به اتمام رسید، عملکرد مدل آموزش داده شده باید با استفاده از یک مجموعه مستقل (Moselhi et al., 1992; Flood and Kartam, 1994; Maier and Dandy, 2000)

جدول ۲. نتایج آموزش و تست شبکه عصبی در تکرارهای مختلف

1st hidden layer nodes	epoch	iteration	$R^2$		
			Train	Test	Total
3	100	77	0.852203	0.642831	0.808304
3	100	74	0.852076	0.67804	0.818442
3	100	81	0.832039	0.748339	0.816987
3	100	29	0.821524	0.644826	0.786821
3	100	97	0.814109	0.664138	0.786884
3	100	72	0.812391	0.644052	0.779856
4	100	52	0.877531	0.715551	0.833975
4	100	80	0.877236	0.670062	0.833728
4	100	43	0.857614	0.657108	0.817812
6	100	46	0.932871	0.667156	0.843851
6	100	90	0.810672	0.669614	0.785237

جدول ۳. نتایج شبکه عصبی BPN با ترکیب مختلف داده‌های ورودی

تعداد نودهای اولین لایه مخفی	تعداد تکرار			RMSE
		آموزش	آزمون	
۴	۱۰۰	۰/۸۷۸	۰/۷۱۶	۰/۰۸۸



شکل ۶. ارتباط خورند پیش‌بینی شده و خورند واقعی در دو حالت آموزش و آزمون (شبکه عصبی)

## روش رگرسیون دو متغیره

تحلیل رگرسیون یکی از تکنیکهای مورد استفاده برای تخمین با استفاده از پارامترهای ورودی مسائل مهندسی و علوم است. دو روش اصلی رگرسیون یعنی رگرسیون ساده و چند متغیره کاربرد فراوانی دارد. رگرسیون ساده ارتباطی بین دو متغیر برقرار می‌سازد. توابع خطی ( $y = ax + b$ )، توانی ( $y = ax^b$ )، لگاریتمی ( $y = ae^{bx}$ ) و نمایی ( $y = a \ln x + b$ ) جهت ساخت مدل پیش‌بینی ساده بکار می‌رond. رایج ترین روش برای ارزیابی خورند سیمان پرده آبپند با رگرسیون ساده استفاده از معیار لوژان است. با اعمال رگرسیون دو متغیره بر روی داده‌های لوژان و خورند سیمان سد بختیاری و پس از بررسی کیفیت برآش توابع مختلف بر اساس میزان ضریب تعیین مشخص گردید که یک رابطه‌ی توانی میان اطلاعات لوژان و خورند وجود دارد (رابطه‌ی ۱۱ و شکل ۷ الف) :

$$Lg = -0.002(Lu^2) + 3.299 \quad (11)$$

که در این رابطه  $Lg$  خورند سیمان بر حسب کیلوگرم در واحد طول و  $Lu$  عدد لوژان می‌باشد. در شکل ۷(ب) ارتباط میان خورند واقعی و خورند پیش‌بینی شده بکمک رگرسیون دو متغیره دیده می‌شود.

## رگرسیون چند متغیره

در کاربردهای مهندسی مدل‌های ساده نمی‌توانند تغییرات کل به توسط متغیرهای مستقل را توضیح دهنند و مدل‌های قابل اعتمادی نیستند. بنابراین استفاده از مدل رگرسیونی چند متغیره بخصوص در موقعی که روابط پیچیده‌ای بین متغیرها وجود دارند و بیش از یک متغیر بر پدیده مورد بررسی اثرگذار هستند، ضروری می‌باشد. این روش بر اساس ارتباط میان یک متغیر وابسته و مجموعه‌ای از متغیرهای مستقل استوار است. در این مطالعه به منظور اعمال این روش از نرم افزار آماری MINITAB بهره گرفته شده است. مجموعاً ۱۰ مدل رگرسیونی جهت تخمین خورند سیمان با استفاده از ۵ پارامتر ورودی تولید گردیده و نتایج مدل‌های تولید شده مقایسه گردید تا بهترین پارامترهای ورودی و همچنین بهترین مدل انتخاب گردد. پس از بررسی ترکیب‌های متفاوت پارامترهای اثرگذار بر خورند سیمان بهترین ترکیب ورودی‌ها شامل لوژان، فشار، ناحیه و شرایط زمین‌شناسی تعیین شده و در این حالت کمترین خطای در برآورد خورند سیمان حاصل گردیده است:

پس از بارها سعی و خطای ترکیب خطی ورودی‌ها شامل لوژان، فشار، ناحیه و شرایط زمین‌شناسی بصورت رابطه زیر بهترین حالت انتخاب گردید:

$$Lg = -42.7 - 201(r) + 2.63(Lu) - 4.9(ap) + 0.0452(p) + 146(g) \quad (12)$$

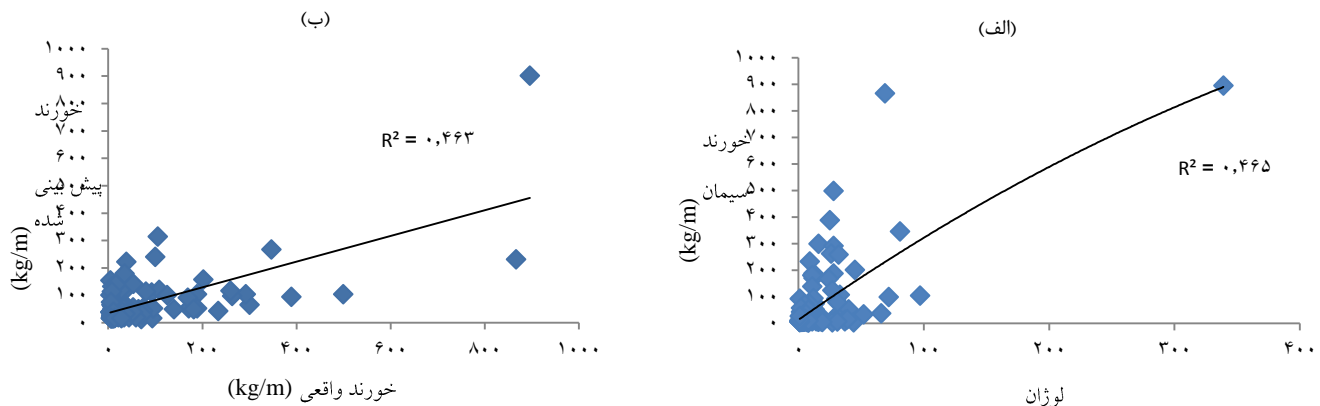
که در رابطه‌ی بالا  $Lg$ ،  $ap$ ،  $Lu$ ،  $r$ ،  $P$  و  $g$  به ترتیب معرف خورند سیمان، ناحیه‌ی فونداسیون، عدد لوژان در مقطع مورد نظر، متوسط میزان بازشده‌گی درزه‌ها، فشار و شرایط زمین‌شناسی می‌باشند. در شکل ۸ میزان تطابق

میان خورند واقعی و خورند پیش‌بینی شده توسط رگرسیون چند متغیره مشاهده می‌گردد.

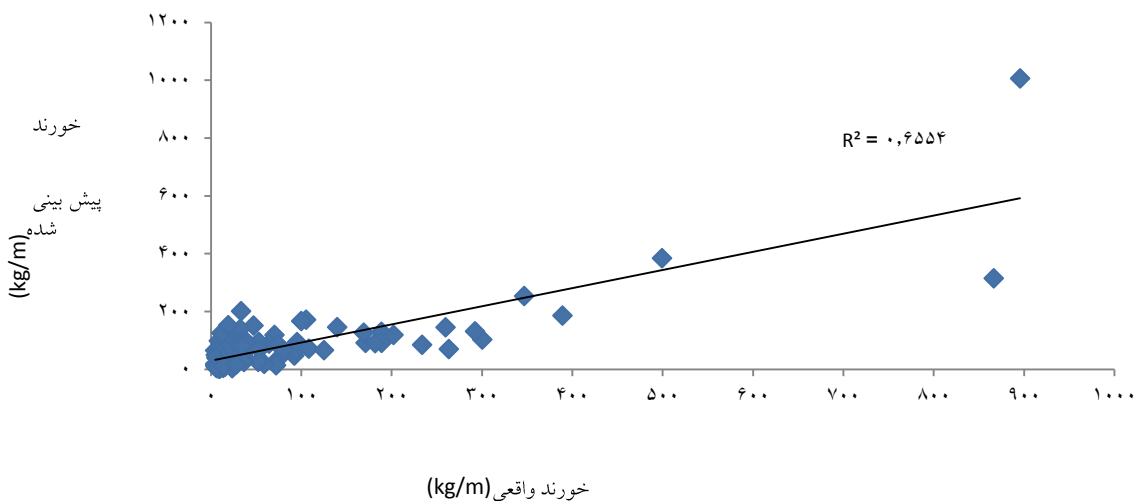
## بحث و نتیجه‌گیری

در این پژوهش از روش شبکه عصبی پس انتشار برای ارزیابی میزان خورند سیمان در ساخت پرده آبپند سد بختیاری استفاده گردیده است. مدل ANN با الگوریتم پس انتشار خطای با قوانین آموزشی و توابع تبدیل برای رسیدن به کمترین RMSE و بیشترین ضریب تعیین مورد آزمون قرار گرفت. طراحی یک شبکه عصبی مصنوعی شامل انتخاب تعداد لایه‌های پنهان و عناصر پردازندۀ نرون (برای لایه‌های پنهان) است که یک فرایند سعی و خطای جهت کسب بهترین نتیجه ممکن برای تولید خروجی می‌باشد. تعداد لایه‌های مخفی و تعداد عناصر فرایند در آنها و نوعتابع فعالیت بصورت سعی و خطای بدست آمد. بدین ترتیب که در ابتدا به ازای یک لایه مخفی با یک عنصر فرایند محاسبات شروع شد و با افزایش تعداد عناصر فرایند در یک لایه مخفی و تعداد لایه‌های مخفی حداقل خطای بدست آمده این عمل برای سه نوع تابع فعالیت خطی، تائزانت هیپربولیک و سیگموئید تکرار شد. با مقایسه‌ی نتایج شبکه عصبی و رگرسیون‌های دومتغیره و چند متغیره، مشخص می‌شود که شبکه عصبی مدل بهتری جهت برآورد خورند سیمان می‌باشد و اهمیت استفاده از این روش بیش از پیش‌نمایان می‌شود. جهت توجیه صحت مدل‌های ارائه شده، اندیشه‌های پیش‌بینی شامل ضریب تعیین ( $R^2$ ) و میانگین نسبی مربع خطای (RMSE) برای هر مدل محاسبه گردیده‌اند. هرآنرا مقدار  $R^2$  بیشتر بوده و مقدار RMSE کمتر باشد، مدل ساخته شده دقیق‌تر خواهد بود.

ضریب تعیین  $R^2$  مدل ساخته شده به کمک شبکه عصبی  $71/6\%$  است که این عدد در رگرسیون چند متغیره و دو متغیره به ترتیب برابر  $65/5$  و  $46/3\%$  می‌باشد. همچنین ضریب RMSE برای روش‌های رگرسیون دومتغیره، چند متغیره و شبکه عصبی به ترتیب برابر  $0.344$ ،  $0.532$  و  $0.088$  محاسبه گردیده است. با توجه به مقادیر ضرایب تعیین و RMSE مشخص می‌شود که شبکه عصبی بهتر از رگرسیون چند متغیره و روش رگرسیون دو متغیره جهت مدل‌سازی خورند سیمان عمل می‌کند و مسئله مورد بررسی دارای ابعاد و غیر خطی بودن بالایی می‌باشد. در واقع هر چه ابعاد و غیر خطی بودن مسئله افزوده گردد، اهمیت شبکه عصبی بیشتر نمود پیدا می‌کند و در این حالت تکنیکهای مرسوم رگرسیونی در جهت تخمین صحیح ناکارآمد می‌باشند.



شکل ۷. الف. ارتباط میان لوزان و خورند سیمان با استفاده از رگرسیون دو متغیره ب) ارتباط خورند پیش بینی شده و خورند واقعی در رگرسیون دو متغیره



شکل ۸. ارتباط خورند پیش بینی شده و خورند واقعی در رگرسیون چند متغیره

عوامل موثر بر خورند سیمان (ورودی‌ها ای شبکه عصبی) شامل لوزان، حالت‌های لوزان، عمق گمانه تزریق، جنس سنگ، فشار تزریق، متوسط میزان بازشدگی‌ها در هر مقطع و شرایط زمین شناسی (ناحیه) در نظر گرفته شده اند که متفاوت از Yang (2004) است که تنها لوزان، عمق گمانه تزریق، فشار تزریق و شرایط زمین شناسی را برای تخمین خورند سیمان به توسط شبکه عصبی مورد استفاده قرار داده است. البته باید توجه شود که ترکیب داده‌های ورودی در هر سه روش و حتی کد بندی آنها تنها برای ساختگاه سد بختیاری مناسب بوده و بایستی برای هر ساختگاه از ترکیب مناسب به خود استفاده شود.

با استفاده از سیستم پس انتشار وزنهای ارتباطی در مراحل مختلف تصحیح می‌شوند که این امر دقیق مدل ساخته شده را نسبت به دو روش دیگر افزایش می‌دهد. پس از آموزش ساختارهای مختلف ساخته شده جهت هر الگوی ورودی، کلیه شبکه‌ها مورد ارزیابی قرار گرفته و مقادیر خطاهای محاسبه شده است و در نهایت الگوی ساختاری که دارای مقادیر حداقل خطای می‌باشد انتخاب گردیده است. مجموع خورند سیمان محاسبه شده به توسط روش شبکه عصبی برابر 29215.15 کیلوگرم می‌باشد که در مقایسه با خورند سیمان واقعی 30409.91 (کیلوگرم)، خطای برابر 3.9% را نشان می‌دهد شبکه عصبی طراحی شده علاوه بر عوامل موثر بر خورند سیمان، حالت لوزان و باز شدگی متوسط درزه‌ها را نیز جهت شبیه سازی واقعی‌تر در نظر می‌گیرد. در حالت بهینه

عصبی در انطباق دادن خود با داده‌های ورودی دارند، می‌توان در صورت عدم دسترسی به تعداد پارامترهای فراوان، با انتخاب پارامترهای مناسب موجود، به نتایج خوبی دست پیدا کرد. نکته قابل توجه دیگر این است که با اعمال داده‌های مشابه و یکسان که پردازش چندان زیادی در مورد آنها نشده است، به شبکه عصبی و روش رگرسیون، نتایج حاصل از شبکه عصبی از دقت بالاتری برخوردار بودند که این امر می‌تواند در هنگام انجام مطالعات مختلف، مورد توجه قرار گیرد.

**قدرتانی**

از تحصیلات تکمیلی دانشگاه اصفهان که با حمایتهاهای مالی زمینه انجام این تحقیق را فراهم نمودند، تشکر و قدردانی می‌شود.

در فرآیند مدل سازی بكمک شبکه عصبی اين نتيجه حاصل شد که عمق و فشار تاثير يكسان بر روی خورند سيمان داشتند، هنگامی که گزارشات تزریق مورد بررسی قرار گرفت دیده شده که اپراتور با افزایش عمق گمانه فشار تزریق را افزایش داده است یعنی افزایش عمق، افزایش فشار تزریق را در پی خواهد داشت. استفاده از روش سیستم شبکه عصبی برای مطالعات خورند سیمان نیاز به اطلاعات دقیق دارد و دادن داده‌های ناقص و نادرست، افزایش مدت پردازش و یادگیری اشتباہ سیستم را در پی خواهد داشت. اگرچه با داشتن تعداد پارامترهای ورودی بیشتر مرتبط با مقدار پارامتر مورد پیش‌بینی این امکان وجود دارد که بتوان به پاسخهای با دقت بیشتر دست یافت ولی به دلیل خاصیتی که شبکه‌های

## منابع

شرکت مهندسی مشاور مهاب قدس، ۱۳۸۰، گزارش اصلی سد مخزنی و نیروگاه برقابی بختیاری – مطالعات مرحله اول.

- Baker W.H., 1982, Grouting in geotechnical engineering, American Society of Civil Engineers.
- Chang T.C., Chao R.J., 2006, Application of back-propagation networks in debris flow prediction, Eng. Geol., 85: 270-280.
- Ewert F.K., 1985, Rock grouting with emphasis on dam sites, Springer-Verlag Ltd., Berlin, Heidelberg, Germany.
- Flood I., Kartam N., 1994, Neural networks in civil engineering. I: Principles and understanding, J. Computing in Civil Engineering, ASCE, 8(2), 131-148.
- Foyo A., Sanchez M.A., 2005, Permeability Tests for Rock Masses. A Proposal for a New Expression for the Equivalent Lugeon Unit (ELU), Dam Engineering, 13(3), 199-218.
- Goh A.T.C., 1994, Seismic liquefaction potential assessed by neural network, J. Geotech. & Geoenv. Engrg., ASCE, 120(9), 1467-1480.
- Goh A.T.C., 1995, Back-propagation neural networks for modeling complex systems, Journal of Artificial Intelligence in Engineering, Elsevier Ltd., 9: 143-151.
- Gomez H., Kavzoglu T., 2008, Assessment of shallow landslide susceptibility using artificial neural networks in Jabonosa River Basin, Venezuela Eng. Geol., 78: 11-27.
- Haykin S., 1994, Neural Network: A comprehensive foundation, NY: Macmillan
- Hirota Y., Takebayasi S., Shibata I., 1990, Prediction of grout take in dam foundation grouting - a case of Granite, Journal of Japan Society of Civil Engineering, 13(421): 195-202.
- Houlsby A.C., 1990, Construction and design of cement grouting – a guide to grouting in rock foundations, John Wiley & Sons, New York.
- Huang Y., Wanstedt S., 1998, The introduction of neural network system and its application in rock engineering, Engineering Geology, Elsevier Ltd., 49: 253-260.
- Haykin S., 1994, Neural Networks: A Comprehensive Foundation, New York: MacMillan Publishing Company. 696 pp.
- Hubick K., 1992, ANNs thinking for industry, Process Control Eng 15(11):36–38
- JSIDRE, 1994, The Fundamental Knowledge on Grouting, Japanese Society of Irrigation, Drainage and Reclamation Engineering, Tokyo.
- Kutzner C., 1985, Consideration on rock permeability and grouting criteria, 15th International Congress on Large Dams, Lausanne, Q.58, R.17.
- Lee S., Ryu J.H., Won J.S., Park H.J., 2004, Determination and application of the weights for landslide susceptibility mapping using an artificial neural network, Eng. Geol., 71: 289-302.
- Maier H.R., Dandy G.C., 2000, Neural networks for the prediction and forecasting of water resources variables: a review of modelling issues and applications, Environmental Modelling & Software, 15(1), 101-124.
- Maji V.B., Sitharam T.G., 2008, Prediction of elastic modulus of jointed rock mass using artificial neural networks, Geotech Geol. Eng., 26: 443-452.
- Millar D., Clarici E., 1994, Investigation of back-propagation artificial neural networks in modelling the stress-strain behaviour of sandstone rock, IEEE Int Conf Neural Netw 5:3326–3331
- Moosavi M., Yazdanpanah M.J., Doostmohammadi R., 2006, Modeling the cyclic swelling pressure of mudrock using artificial neural networks, Eng. Geol., 87: 178-194.
- Moselhi O., Hegazy T., Fazio P., 1992, Potential applications of neural networks in construction, Canadian Journal of Civil Engineering, 19, 521-529.
- Nefeslioglu H.A., Gokceoglu C., Sonmez H., 2008, An assessment on the use of logistic regression and artificial neural networks with different sampling strategies for the preparation of landslide susceptibility maps, Eng. Geol., 97: 171-191.

- Rumelhart D. E., Hinton G. E., Williams R. J., 1986, Learning internal representations by error propagation, In Rumelhart, D. E., McClelland, J. L., and the PDP Research Group, editors, Parallel Distributed Processing. Explorations in the Microstructure of Cognition. Volume 1: Foundations, pages 318-362. The MIT Press, Cambridge, MA.
- Shibata I., 1989, The determination of a rational injection pressure related to in-situ stress in dam foundation grouting, Journal of Japan Society of Civil Engineering, 16(436): 121-130.
- Trippi R.R., Turban E., 1996, Neural Networks in Finance and Investing, Irwin Professional Publishing.
- Verfel J., 1989, Rock grouting and diaphragm wall construction, Elsvier Science Pub., 532 pp.
- Weaver K., 1991, Dam foundation grouting, Library of Congress Catalog, Card No. 91-34635, American Society of Civil Engineers.
- Yamaguchi Y., Matsumoto N., 1989, Permeability and Lugeon values of dam foundation, Journal of Japan Society of Civil Engineering, 12(412): 51-60.
- Yang, Y., Zhang Q., 1997, A hierarchical analysis for rock engineering using artificial neural networks, Rock Mechanics and Rock Engineering 30 (4), 207-222.
- Yang C. P., 2004, Estimating cement take and grout efficiency on foundation improvement for Li – Yu – Tan dam, Engineering Geology, 75:1-14.
- Zorlu, K., Gokceoglu C., Ocakoglu F., Nefeslioglu H.A., Acikalin S., 2008, Prediction of uniaxial compressive strength of sandstones using petrography-based models, Eng. Geol., 96: 141-158.